



# CATALISADORES BIMETÁLICOS DE NIFe SUPORTADOS EM γ-Al<sub>2</sub>O<sub>3</sub> PARA REFORMA A SECO DE CH<sub>4</sub>: EFEITO DA FORMAÇÃO DA LIGA

Rodolfo Luiz B. A. Medeiros<sup>a\*</sup>, Dulce M.A. Melo<sup>a,b</sup>, Ângelo A. S. Oliveira<sup>a</sup>, Fernando V. Maziveiro<sup>b</sup>, Rebecca. B. A. N. Santiago<sup>a</sup>, Yuri K. R. O Silva<sup>b</sup>, Amanda L. Azevedo<sup>b</sup>, Renata M. Braga<sup>c,d</sup>

<sup>a</sup>Programa de Pós-graduação em Ciência e Engenharia dos Materiais, Universidade Federal do Rio Grande do Norte, Natal, Brasil.

## Resumo/Abstract (Helvética, tam. 12)

RESUMO - Catalisadores monometálicos à base de níquel e bimetálicos NiFe com diferentes concentrações de ferro foram preparados via reação de combustão assistida por micro-ondas, sem etapa de impregnação, e calcinados a 550 °C por 3 h. Os materiais foram caracterizados por DRX, TPR e análise de área superficial (BET-BJH). Os testes catalíticos foram conduzidos a 700 °C por 20 h, com velocidade espacial de 72 L·h<sup>-1</sup>·g<sup>-1</sup>, após pré-ativação dos catalisadores a 700 e 800 °C por 1 h. A adição de Fe promoveu alterações nas propriedades físico-químicas, especialmente na redução programada de temperatura, indicando a formação de liga NiFe, confirmada por DRX. Difração de raios X in situ revelou a estabilidade estrutural dos catalisadores durante a primeira hora da RSM, sem formação de fases secundárias ou coque. Os testes catalíticos mostraram que maiores concentrações de Fe reduziram a atividade, mas a substituição de 20% em massa resultou em leve alteração no desempenho. Portanto, a substituição parcial de Ni por Fe pode ser vantajosa economicamente e ambientalmente, considerando o menor custo e a baixa toxicidade do ferro.

Palavras-chave: reforma a seco do metano, catalisadores bimetálicos, NiFe, liga metálica, micro-ondas

ABSTRACT - Monometallic Ni-based and bimetallic NiFe catalysts with varying iron concentrations were prepared by microwave-assisted combustion reaction, without impregnation, and calcined at 550 °C for 3 h. The catalysts were characterized by XRD, TPR, and BET-BJH methods. Catalytic tests were performed at 700 °C for 20 h using a space velocity of 72 L·h<sup>-1</sup>·g<sup>-1</sup>, after pre-activation at 700 and 800 °C for 1 h. The addition of Fe altered the physicochemical properties, especially those related to temperature-programmed reduction, indicating the formation of a NiFe alloy, as confirmed by XRD. In situ X-ray diffraction revealed the catalysts' structural stability during the first hour of DRM, with no formation of secondary phases or coke. Catalytic activity decreased with higher Fe concentrations; however, 20 wt% substitution led to only minor performance changes. Thus, partial substitution of Ni by Fe can be attractive from both economic and environmental perspectives, given Fe's lower cost and non-toxic nature.

Keywords: dry reforming of methane, bimetallic catalysts, NiFe alloy, microwave synthesis

## Introdução

A reação de reforma a seco do metano (DRM) tem um caráter fortemente endotérmico e necessita de altas temperaturas para alcançar bons níveis de conversão [1, 2]. Metais como Pt, Ru ou Pd possuem excelente atividade e baixa formação de coque [3]. No entanto, esses metais são muito caros e não abundantes, e nesse caso, o Ni é o metal mais apropriado porque tem desempenho semelhante e é mais barato quando comparado aos metais nobres [4]. A desvantagem do uso de Ni é sua suscetibilidade à formação de carbono durante a reação. Assim, estudos com

catalisadores bimetálicos são focados em aumentar a resistência à sinterização ou à formação de coque. Fe é conhecido por ter uma atividade catalítica significativamente menor que Ni [5].

Por outro lado, a grande vantagem do ferro é que ele reduz o custo do catalisador, pois é um metal muito mais barato que o Ni e é um metal não tóxico [5]. No entanto, é certo que não é apenas a adição do segundo metal que determinará o desempenho do catalisador, mas outros fatores como parâmetros de reação (temperatura, tratamento de ativação e velocidade espacial), bem como as características do

<sup>&</sup>lt;sup>b</sup>Programa de Pós-graduação em Química, Universidade Federal do Rio Grande do Norte, Natal, Brasil.

<sup>&</sup>lt;sup>c</sup>Programa de Pós-graduação em Engenharia Química, Universidade Federal do Rio Grande do Norte, Natal, Brasil.

<sup>&</sup>lt;sup>d</sup>Escola Agrícola de Jundiaí, Universidade Federal do Rio Grande do Norte, Macaiba, Brasil.

<sup>\*</sup>E-mail: rodolfo.luiz.medeiros@gmail.com



suporte ou o método de síntese, podem ser determinantes [1].

Portanto, este trabalho tem como objetivo principal investigar a substituição parcial de Ni por Fe na reforma a seco do metano.

## Experimental

Os catalisadores foram preparados pelo método de reação de combustão assistida por micro-ondas sem a etapa de impregnação (síntese em um único passo). Na síntese, os Ni(NO<sub>3</sub>)<sub>2</sub>.6H<sub>2</sub>O e Fe(NO<sub>3</sub>)<sub>3</sub>·9H<sub>2</sub>O correspondentes a cada catalisador foram solubilizados em água destilada juntamente com ureia e Al(NO<sub>3</sub>)<sub>3</sub>·9H<sub>2</sub>O em um béquer. A quantidade de ureia (combustível) foi calculada com base na química de propelentes e explosivos, onde uma quantidade de ureia correspondente a uma mistura pobre foi ajustada. Os catalisadores preparados foram Ni10 (10% em peso de Ni), NF82 (8% em peso de Ni e 2% em peso de Fe) e Ni (6% em peso de Ni e 4% em peso de Fe). Finalmente, os catalisadores foram calcinados a 550 °C / 3h.

A estrutura, redutibilidade e propriedades texturais foram investigadas por XRD, TPR e BET-BJH. As medidas de difração de raios-X foram realizadas utilizando um difratômetro Shimadzu XRD-7000 com radiação CuK $\alpha$  ( $\lambda$  = 1.5409 Å) e passo de 0,02 a uma velocidade de 2º/min. Os perfis de redução de temperatura programada foram obtidos em um Micromeritcs Autochem II 2920, onde 100 mg do catalisador foi aquecido a 900°C (10°C/min) sob fluxo de 50 mL/min de  $H_2$  (10 mol% em Ar). O consumo de H2 foi medido usando o detector TCD. As propriedades texturais foram medidas pela fissura de  $N_2$  no equipamento QuantaChrome Intrusments Nova2000. Os catalisadores foram pré-tratados a 200°C sob vácuo por 12 h.

A difração de raios-X in situ foi usada para investigar a evolução estrutural tanto na ativação quanto na reação. Para isso, a linha de feixe XPD-10B do Laboratório Nacional de Luz Síncrotron (LNLS) foi utilizada. O catalisador foi colocado em um forno instalado no goniômetro Huber operando em geometria Bragg-Brentano ( $\theta$  -  $2\theta$ ) e equipado com um detector Mythen - 1K (Detris) localizado a 1 m do forno. O intervalo de varredura de  $2\theta$  foi de 35 a 65 °, usando radiação com um comprimento de onda de 1.55002 Å e energia de 8 keV.

Nos testes catalíticos, 25 mg da amostra foram inseridos em um reator de quartzo. O catalisador foi previamente ativado sob um fluxo de 10 mL/min de H<sub>2</sub> (10 mol% N<sub>2</sub>) da temperatura ambiente a 700 °C a uma taxa de 10 °C/min, permanecendo por 1 h. Após o tratamento de ativação, o sistema foi purgado com N<sub>2</sub> por 10 min e então a etapa de reação começou. Nesta fase, um fluxo de 30 mL/min (velocidade espacial: 72 Lh<sup>-1</sup>g<sup>-1</sup>) de uma mistura contendo

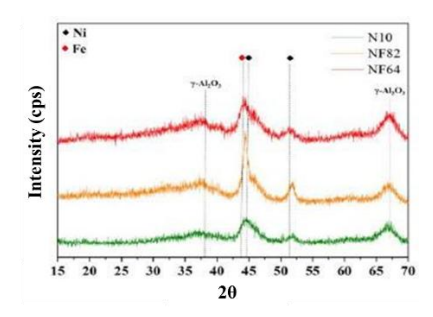


20 mol% de CH<sub>4</sub> e CO<sub>2</sub> numa proporção de 1 foi introduzido no sistema por um período de 20 h.

Os gases da corrente foram lidos a cada 15 min em um cromatógrafo acoplado Varian CP-3800 usando um detector TCD.

### Resultados e Discussão

A Figura 1 mostra os difratogramas de raios X dos catalisadores N10, NF82 e NF64. As linhas de Fe0 não foram identificadas, provavelmente devido ao seu baixo conteúdo ou por não estarem totalmente reduzidas. Devido às características semelhantes, como raio iônico e estrutura cristalina, é muito provável que a formação de liga entre os metais ocorra pelo mecanismo de difusão entre átomos na rede cristalina, formando uma solução sólida. Assim, para identificar a formação de liga a partir do deslocamento da linha correspondente ao Ni0, foram adicionadas as linhas dos plugs de Ni<sup>0</sup> (JCPDS 01-070-1849) e Fe0 (JCPDS 03-065-4150). A partir dos deslocamentos dos ângulos, presume-se que as fases ativas dos catalisadores bimetálicos são formadas por uma liga de Ni e Fe que permaneceu fora da solução sólida e que, devido à sua baixa concentração, não pôde ser identificada pela técnica de difração de raios X.



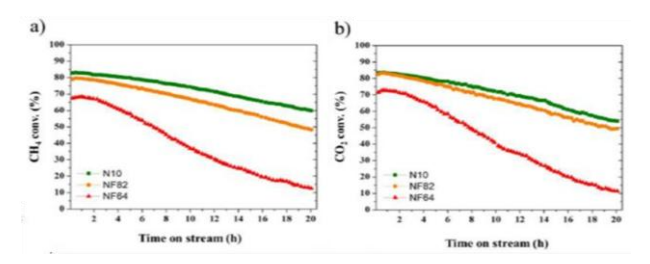
**Figura 1.** Difratogramas dos catalisadores (N10, NF82 e NF64) ativados a 700 °C.

Os resultados dos testes de DRM são mostrados na Figura 2. As conversões de CH<sub>4</sub> e CO<sub>2</sub> (Figuras 3a e b) foram inicialmente acima de 60% para todos os catalisadores. A adição de Fe em diferentes concentrações promoveu comportamentos diferentes em relação ao catalisador N10.

No caso dos bimetálicos contendo Ni e Fe (NF82 e NF64), foram observadas grandes diferenças entre os níveis de conversão de CH<sub>4</sub> e CO<sub>2</sub>, em que as adições de ferro promoveram uma diminuição significativa na atividade, apresentando uma diferença de 36 e 43% para CH<sub>4</sub> e CO<sub>2</sub>, respectivamente, ao final das 20 horas de reação. Isso ocorre devido ao fato de que o teor de ferro na liga pode alterar a



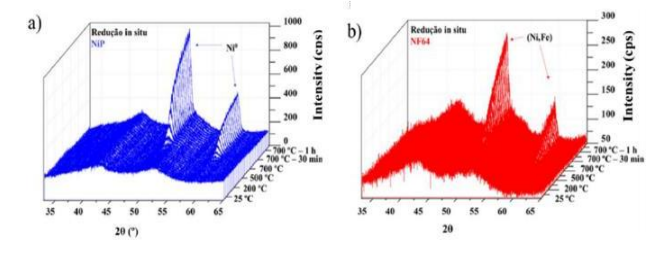
reatividade tanto para CH<sub>4</sub> quanto para CO<sub>2</sub>, conforme relatado por Tomishige et al [8].



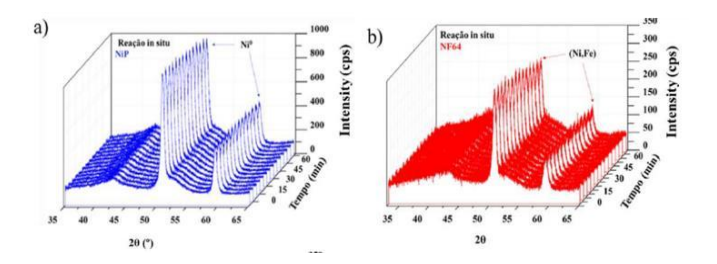
**Figura 2.** Conversões de CH<sub>4</sub> (a) e CO<sub>2</sub> (b) dos catalisadores (N10, NF82 e NF64).

Os catalisadores N10 e NF64 foram analisados pela técnica de difração de raios X in situ durante a redução sob atmosfera de H<sub>2</sub> e reação de DRM a 700°C. A Figura 3 mostra os difratogramas relacionados à redução do catalisador, onde em ambos os catalisadores, a formação da fase metálica é observada em temperaturas próximas a 700°C e estão de acordo com os perfis de redução de temperatura programada (H<sub>2</sub>-TPR). Não foram exibidas linhas de difração para os óxidos de Ni e Fe. As linhas identificadas referem-se a Ni<sup>0</sup> e liga NiFe para o catalisador NF64. Além disso, maiores graus de redução do catalisador são obtidos após uma isoterma de 1 hora a 700°C, evidenciado pelo aumento da intensidade do pico relacionado à fase ativa.

A Figura 4 mostra difratogramas de raios X in situ para a primeira hora de reação catalítica. Ambos os catalisadores são apresentados sem grandes modificações em relação à aparência de fases secundárias. Além disso, não foram observados picos relacionados à formação de coque.



**Figura 3.** Difratogramas de raios X in situ durante a redução na atmosfera de H<sub>2</sub> dos catalisadores N10 (a) e NF64 (b).



**Figura 4.** Difratogramas de raios X in situ durante a RSM dos catalisadores N10 (a) e NF64 (b).



#### Conclusões

A substituição parcial de Ni por Fe resultou em alterações significativas nos perfis de redução, com redução da temperatura necessária para a formação da fase ativa. A difração de raios X in situ indicou boa estabilidade estrutural durante a primeira hora de reação, sem formação de fases secundárias ou coque. Esses resultados sugerem que a incorporação controlada de Fe é uma estratégia promissora, com benefícios econômicos e ambientais, devido ao menor custo e à baixa toxicidade do ferro.

# Agradecimentos

Os autores agradecem ao Conselho Nacional de Desenvolvimento Científico e Tecnológico (CNPq) pelo apoio financeiro à execução do projeto SisH2 — Sistema Integrado para Produção Sustentável de Hidrogênio e a UFRN. Também, o apoio da Plataforma Multiusuário do LNLS (XPD-10B) para as análises in situ foi essencial para o entendimento do comportamento estrutural dos catalisadores em operação.

#### Referências

- 1. Aminu, M.D.; Al-Fatish, M.; Saeidi, S.; Nizami, A.S.; Pourhosseini, P.S.; Abbas, M.M. Applied Energy, 2017, 208, 1389-1407.
- 2. Dincer, I.; Acar, C. International Journal of Hydrogen Energy, 2015, 40, 11094-11111.
- 3. Dodds, P.E.; Staffell, I.; Hawkes, A.D.; Li, F.; Grünewald, G.; McDowall, W.; Ekins, P. International Journal of Hydrogen Energy, 2015, 40, 2065-2079.
- 4. Fan, M.-S.; Abdullah, A.Z.; Bhatia, S. ChemCatChem, 2009, 1, 192-208.
- Koo, K.Y.; Roh, H.-S.; Kang, S.R.; Kim, M.-S.; Kim, Y.-S.; Bae, J.; Lee, J.-M.; Lee, K.-Y.; Lee, J.-S. Catalysis Today, 2009, 146, 166-173.
- 6. Koytsoumpa, E.I.; Bergins, C.; Kakaras, E. The Journal of Supercritical Fluids, 2018, 132, 3-10.
- Saeidi, S.; Abbas, M.M.; Al-Fatish, M.; Aminu, M.D. Renewable and Sustainable Energy Reviews, 2017, 80, 1292-1307.
- 8. Tomishige, K.; Kawata, T.; Asami, K.; Okabe, K. Science & Technology, 2017, 7, 3952-3962.